C. F. Bowers et al. (2023)

Evidence for Magnetic Reconnection as the Precursor to Discrete Aurora at Mars

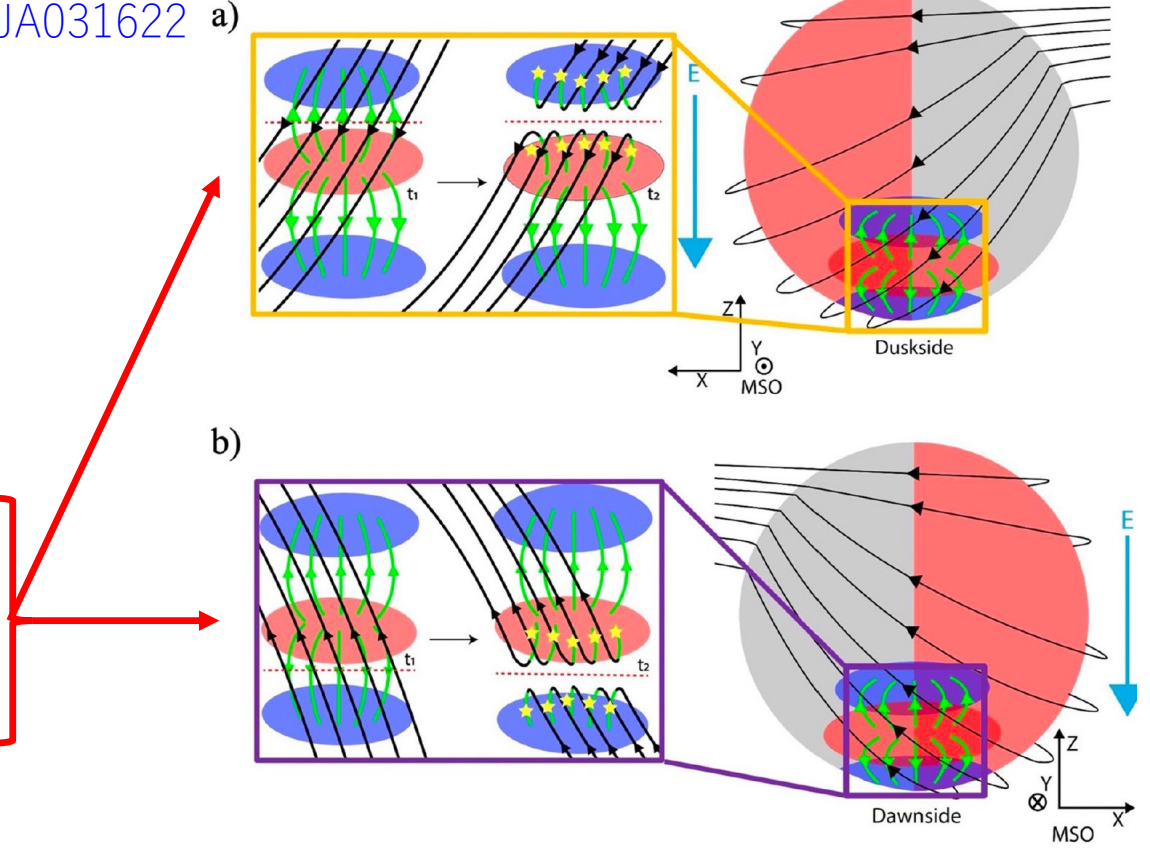
Journal of Geophysical Research: SpacePhysics,

128,e2023JA031622. https://doi.org/10.1029/2023JA031622 a)

Key Points:

- Discrete aurora over two regions of crustal fields at Mars occur under specific draped magnetic field conditions
- Of the 49 discrete aurora analyzed, 42 (86%) occur under conditions that favor anti-parallel magnetic reconnection
- Reconnection plays a role in discrete aurora onset, explaining trends in auroral detections including local time and upstream conditions

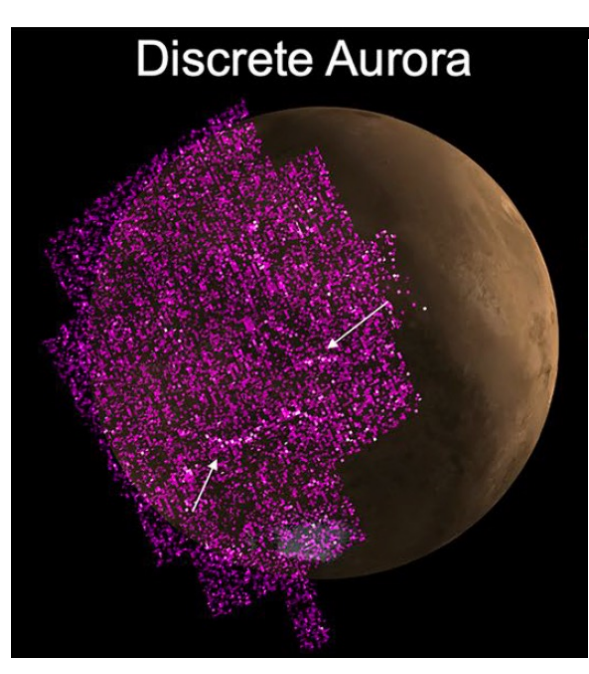
第94回火星勉強会 京都大学 M1 竹內直之



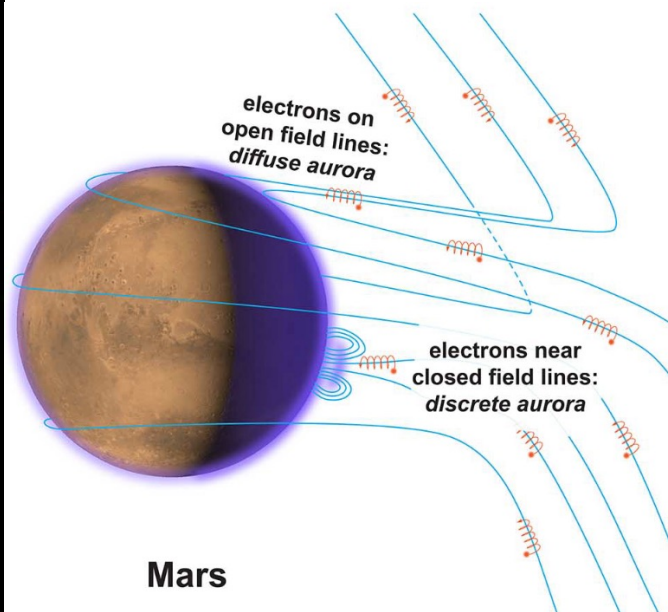
Abstract Discrete aurora at Mars are characterized as localized, short-lasting ultraviolet emissions on the nightside. They are caused by the precipitation of accelerated electron along open magnetic field lines and their collision with the Martian atmosphere. Discrete auroral emissions detected by the Imaging Ultraviolet Spectrograph (IUVS) instrument onboard the Mars Atmosphere and Volatile EvolutioN (MAVEN) spacecraft occur most frequently over the strongest crustal magnetic anomalies at Mars and under particular local time and upstream interplanetary magnetic field (IMF) conditions. These trends suggest that the onset of discrete aurora is controlled by the processes that govern the interaction between the draped IMF and the crustal magnetic anomalies. Here, we analyze MAVEN magnetometer measurements over regions of strong crustal fields during 49 discrete auroral events observed by IUVS. Our results indicate that the draped IMF orientations during each discrete auroral event show a clear tendency to be anti-parallel to the underlying crustal anomaly magnetic fields near the location of the emission onset. This suggests that magnetic reconnection, a process that favors anti-parallel magnetic field regimes, between the crustal fields and the draped IMF plays a role in discrete aurora formation. Of the 49 discrete auroral events analyzed, 42 (86%) occurred under draped IMF conditions that are susceptible to reconnection with the underlying crustal anomalies. This investigation produces strong evidence linking discrete aurora to magnetic reconnection at Mars and provides insights into other trends in discrete auroral activation such as local time and upstream IMF conditions.

- ・夜側で局所的に短期間発生する火星のディスクリートオーロラ
- ·開いた磁力線に沿って加速された電子が火星の中性大気に降り込むことで発生
- ・MAVEN(IUVS)によるディスクリートオーロラの観測。強い地殻磁場上で最頻。特定の地方時と上流IMF条件下で起きる。
- →**地殻磁場とIMFとの相互作用を支配するプロセス**が**ディスクリートオーロラの発生を左右**することを示唆。
- ・強地殻磁場領域上でのIUVSの観測結果49のうち、オーロラ発生場所の近くでdrapeしたIMFと地殻磁場が反
 平行になるはっきりとした傾向(42/49イベント)
- →ディスクリートオーロラとdrapeしたIMF・地殻磁場間の磁気リコネクションとの関連を示した。Local Time(LT)や上流IMF条件との関連への洞察も提供。

火星ディスクリートオーロラ



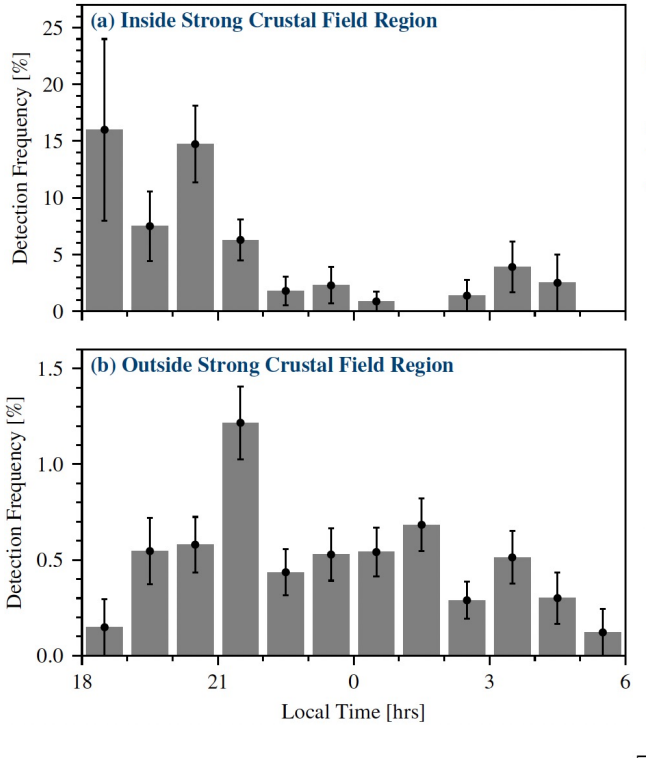
Schneider et al., 2021 Figure 1.より抜粋



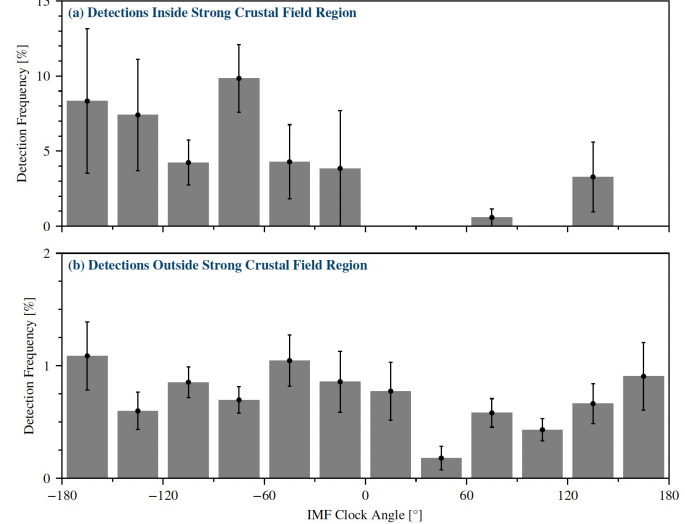
Schneider et al., 2015 Figure 5.より抜粋

- ・夜側で局所的に短期間生じ、強い地殻磁場上で最頻(Schneider et al., 2021)。
- ・開いた磁力線に沿って電子が降り込み中性 大気に衝突することで発生する(e.g. Brain et al., 2006)。
- ・MAVEN/IUVSやMEX/SPICAMで観測できる オーロラを発生させるようなオーロラ電子の エネルギー > $50eV(Soret\ et\ al.\ 2021)$
- →火星夜側のnominalな電子のエネルギーより も大きいため、何かしらの加速機構が必要。

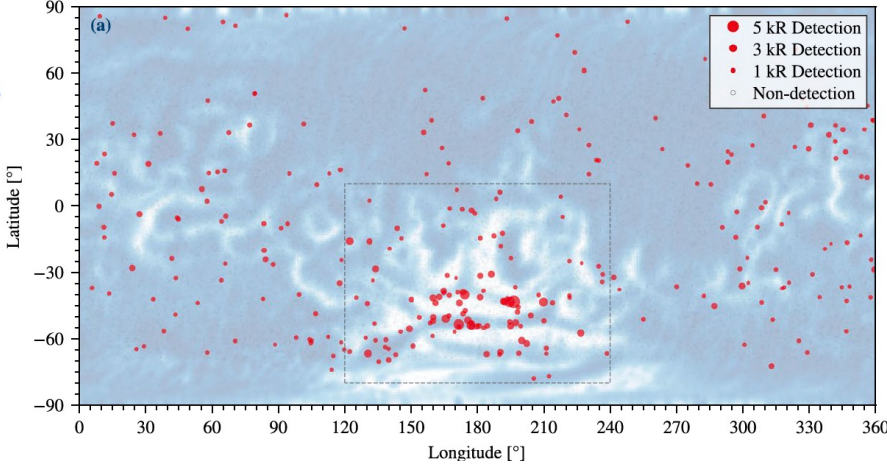
火星ディスクリートオーロラのリム観測による観測結果



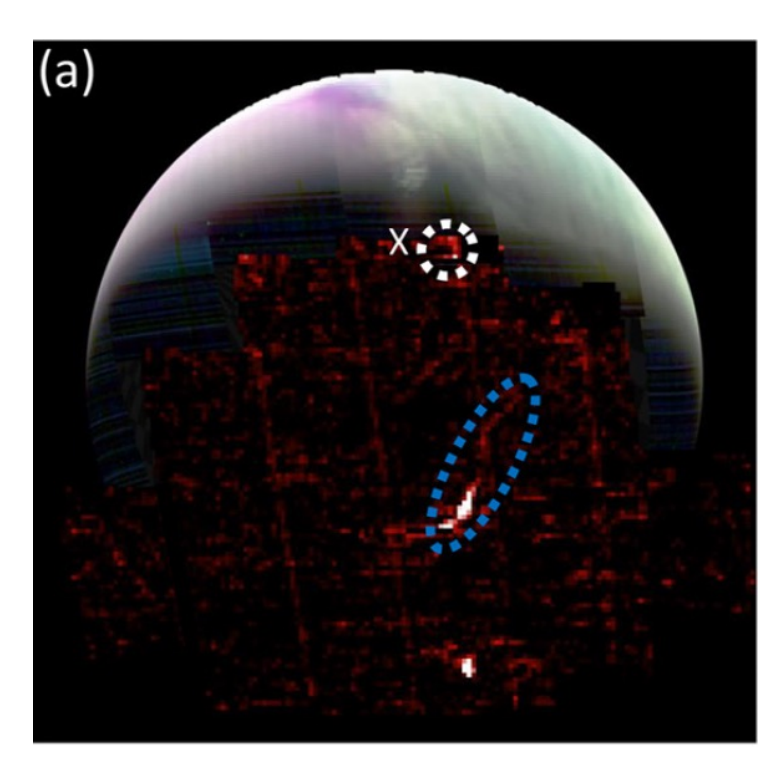
いずれもSchneider et al., 2021 より抜粋、引用



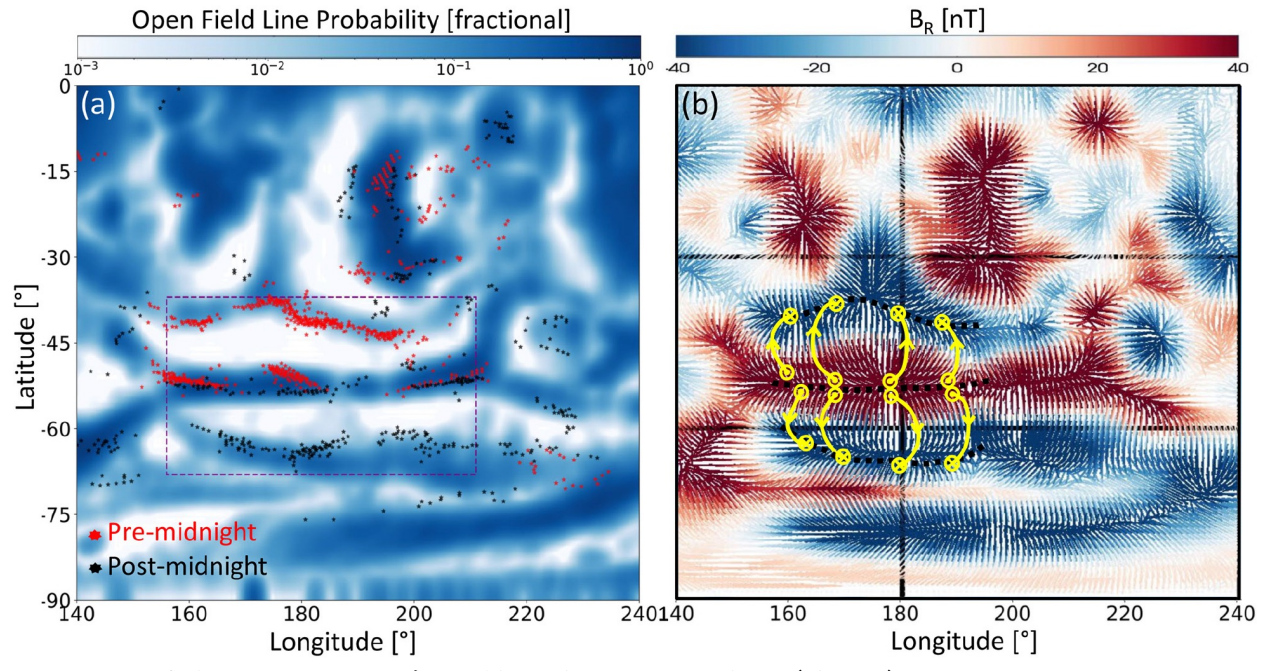
- ・強い地殻磁場領域内で頻発(下図)。
- ・強い地殻磁場領域内ではdusk方向の上流 IMF、LT18:00~22:00での発生頻度が大きい傾 向(Schneider et al. 2021)
- →ディスクリートオーロラの発生は上流IMF条件と地殻磁場の強度や位置に依存
- **→火星のディスクリートオーロラ**は、地殻磁 場とIMFとの「**ミニ磁気圏的な」相互作用の結 果生じる**ことを示唆
- ・しかし、リム観測では観測の制約(観測範囲、LT)によりディスクリートオーロラの領域ごとの違いを見るには不十分。



火星ディスクリートオーロラの天底観測による観測結果

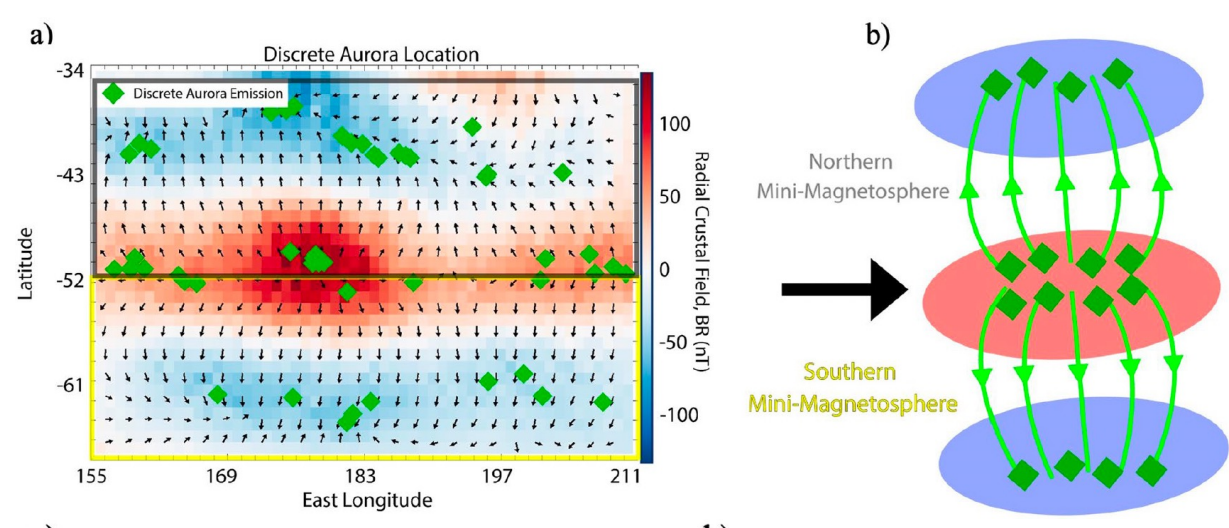


いずれもJohnston et al., 2023より引用、抜粋



- ・天底観測では、全球的な観測が可能(左図)
- →各軌道で空間的に十分な範囲での観測が可能なため、ミニ 磁気圏的な相互作用について詳細に調べることができる。
- ・強い地殻磁場領域におけるディスクリートオーロラ発生場 所のLTへの依存性(上図左)と領域内の磁場の強さ、向き (上図右)
- →ディスクリートオーロラの上流IMF、地殻磁場、LT依存性 を説明する**リコネクション仮説**(次スライド)

ミニ磁気圏とリコネクション仮説



- ・左上図のように強い地殻磁場領域を \lesssim 二 磁気圏(南緯-34~-68°、東経 155~211°)とみなし、この領域を R_f と 呼ぶ。
- ・ R_f は三つの領域(中央に位置する赤の動径方向外向きの磁場領域とその南北に位置する青の動径方向内向き磁場領域)から成る。

Southward draped field Northward draped field

・リコネクション仮説

- →地殻磁場とdrapeしたIMFとの磁気リコネクションが、火星ディスクリートオーロラの形成の始まりにおいて主要な役割を担う。
- →磁気リコネクションの結果生じた開いた 磁力線に沿ってオーロラ電子が中性大気に 降り込み、ディスクリートオーロラを発生 させる、というシナリオ

オーロライベントの解析

- ・リコネクション仮説の検証のため、 地殻磁場とIMFとが「相互作用する領域」を定義。 $MAVENがオーロラを R_f$ 内で観測した軌道と同一の軌道内でこの相互作用領域を通過している場合、下記の条件に基づいてオーロライベントを分類する。
- ・相互作用領域の定義→高度>700km, 緯度<南緯-20° (高度はHolmberg et al., (2019)により推定された電離圏プラズマとショック太陽風プラズマとの境界の高度 ~630kmをわずかに上回る値としている。)

○条件に基づく分類

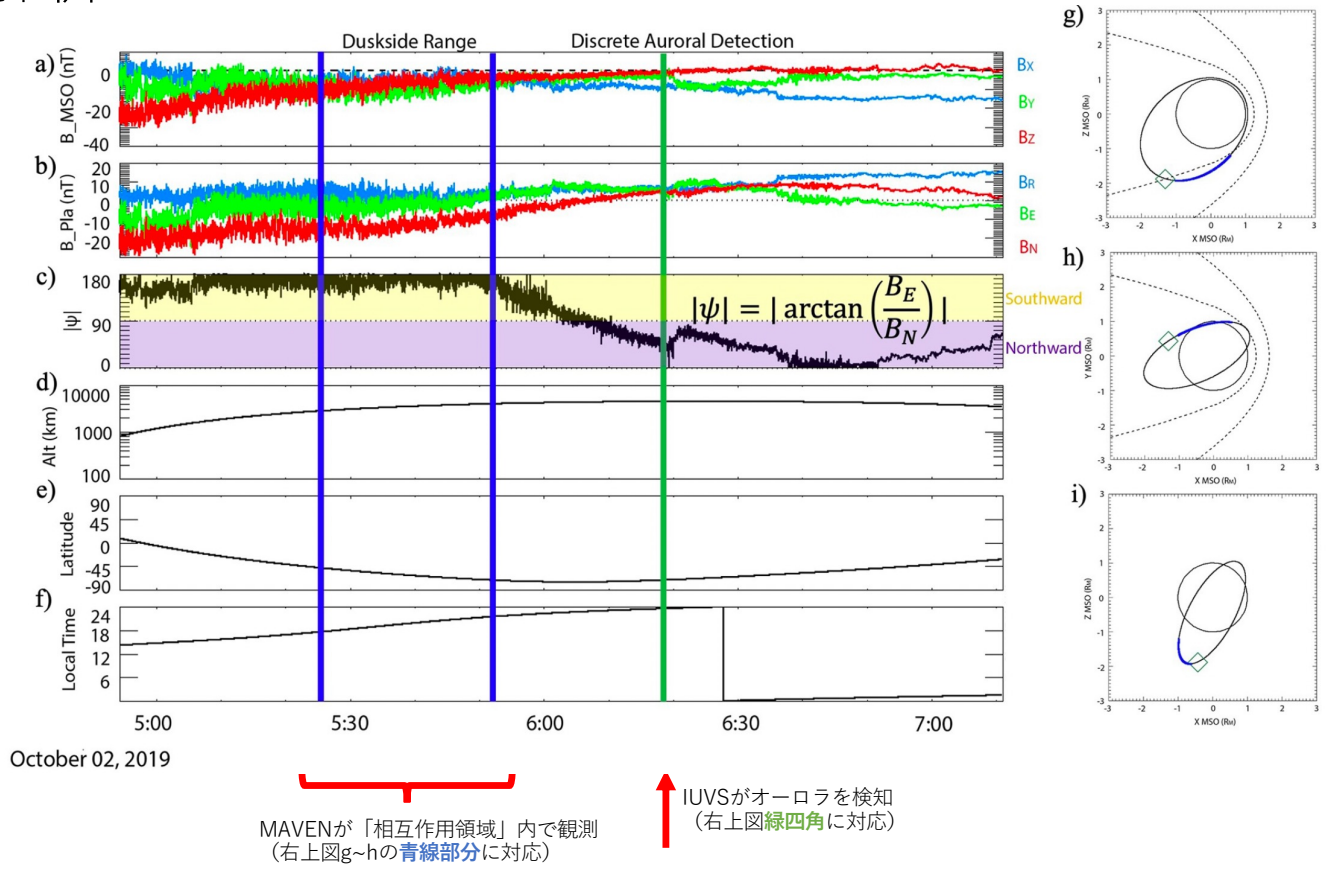
- · LT
- \rightarrow Dusk (18:00 < LT < 24:00)またはDawn(00:00 < LT < 06:00)のどちらでオーロラが観測されたか決定
- ·drapeした磁場の方向
- $\rightarrow \psi = \operatorname{arctan}(B_E/B_N)$ を定義し、drapeした磁場を南北いずれかに決定 (磁気リコネクション が起きるか否かを仮定するにあたり、 R_f 内の地殻磁場は南北方向に閉じていると考え、 drapeしたIMFの南北方向にのみ注目する)
- →北向き $(0 \le |\psi| \le 90)$ と南向き $(90 < |\psi| \le 180)$ に分類する。
- ※E, Nはそれぞれ惑星座標系($[\hat{R},\hat{E},\hat{N}]$ 、 \hat{R} :火星の動径方向外向き \hat{E} :地理的東向き, \hat{N} :地理的北向き)における drapeした磁場の東, 北向き成分

オーロライベントの解析

以下の流れで解析を進める:

- 前述の条件に基づく相互作用領域 とオーロラが観測された位置の dusk/dawnの決定
- 2. オーロラが検知された軌道沿いに MAVENが1.の相互作用領域を観測 しているか確認
- 3. 相互作用領域内で平均の|ψ|を計算 □

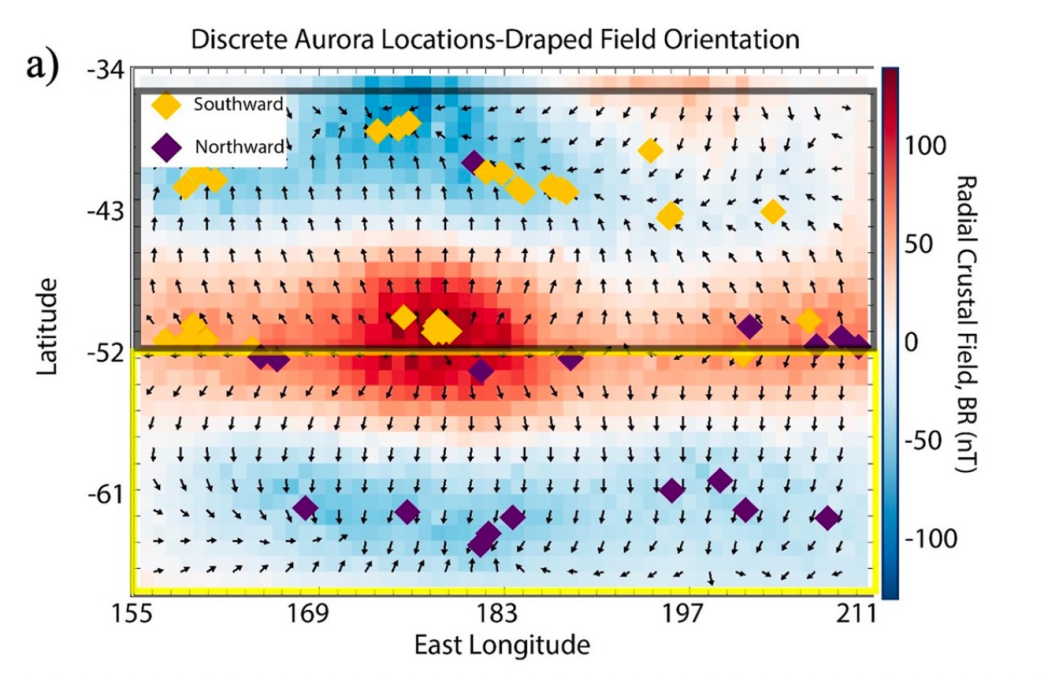
IUVSが R_f 上でディスクリートオーロラを 観測した**49イベント**について 同様の操作を行う

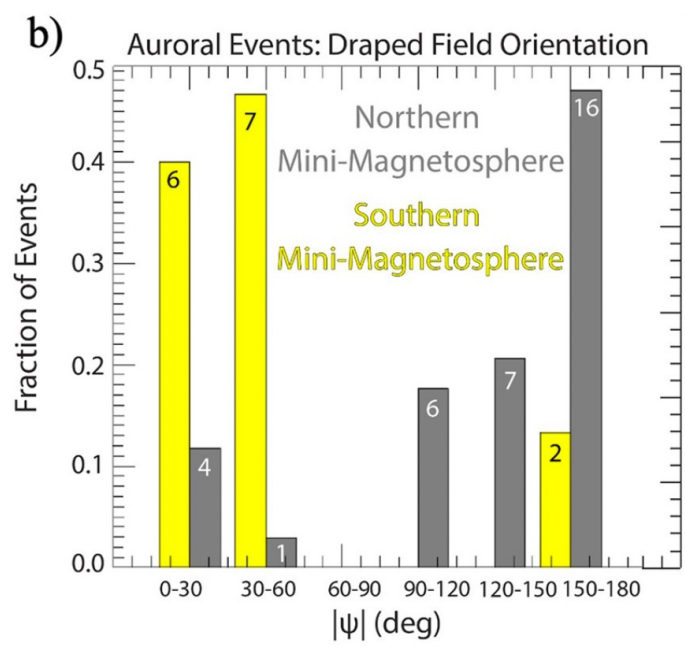


↑の例の場合、

- ・相互作用領域の平均高度: 3252km 平均緯度: -57.5° 平均LT: 16LT
- ・drapeした磁場の方向: |ψ|=172°(南向きIMF)
- ・ R_f 内でオーロラが観測されたLT:~20:00(**Dusk**)

オーロラ発生場所 VS. draped 磁場の方向 | ψ |

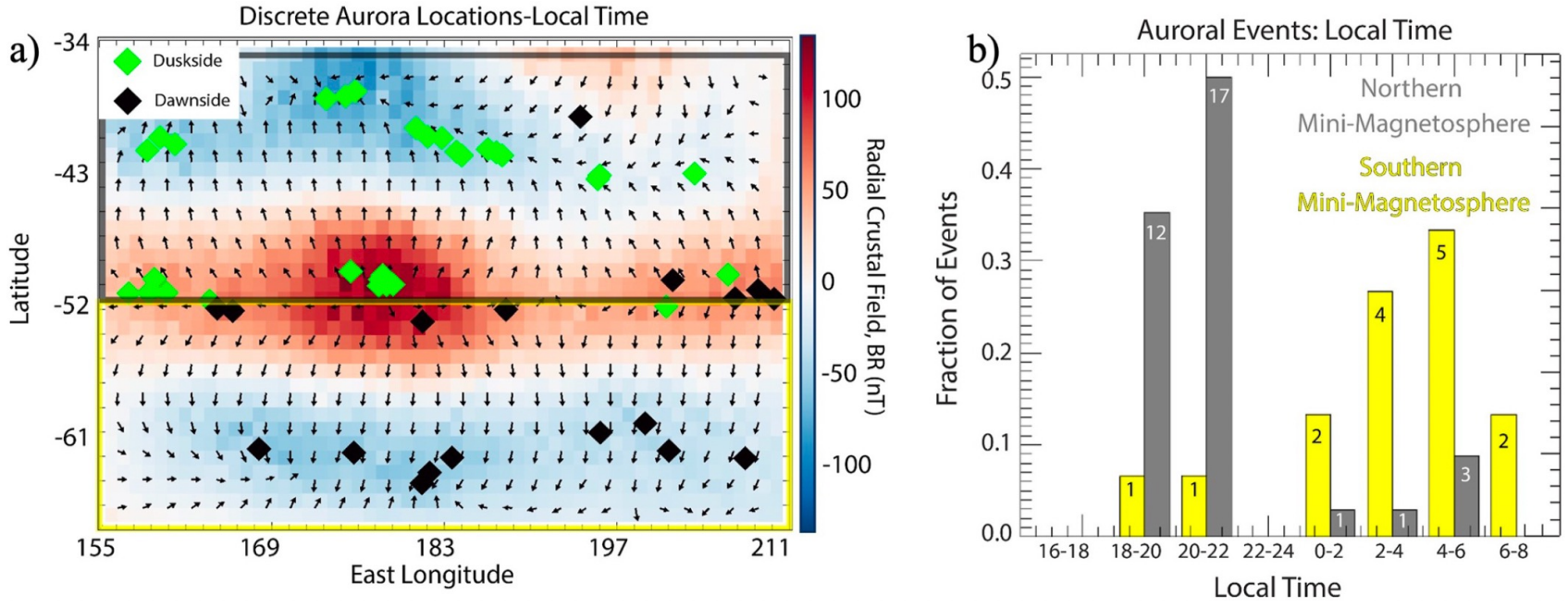




- ・橙色: 南向き(|ψ|>90°), 紫色: 北向き(|ψ|<90°)
- ・北側のミニ磁気圏(地殻磁場は北向き)におけるイベント34のうち、29(85%)が南向き
- ・南側のミニ磁気圏(地殻磁場は南向き)におけるイベント15のうち、13(87%)が北向き
- ・ディスクリートオーロラが東西方向よりも**南北方向のψにおいて頻発**

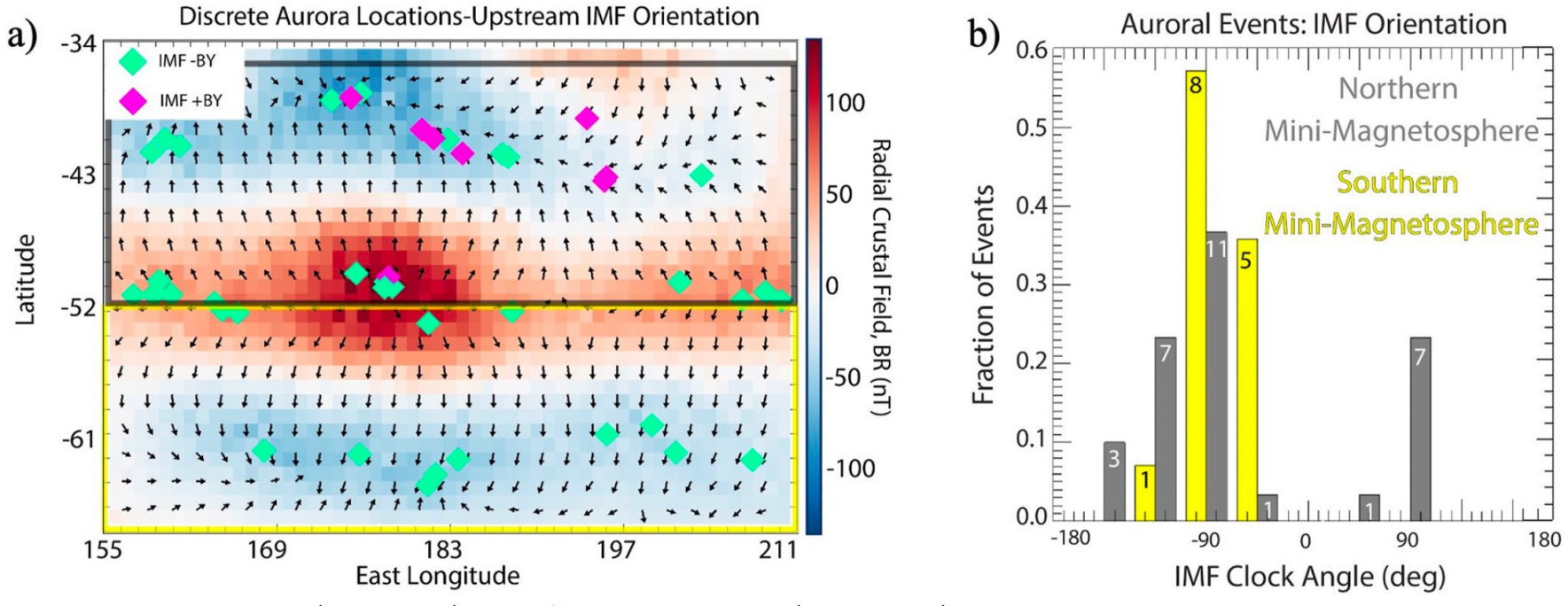
→各ミニ磁気圏でリコネクションに適した磁場の向き(地殻磁場とIMFとが反平行方向)となっており、リコネクション仮説を支持する結果と言える。

オーロラ発生場所 VS. LT



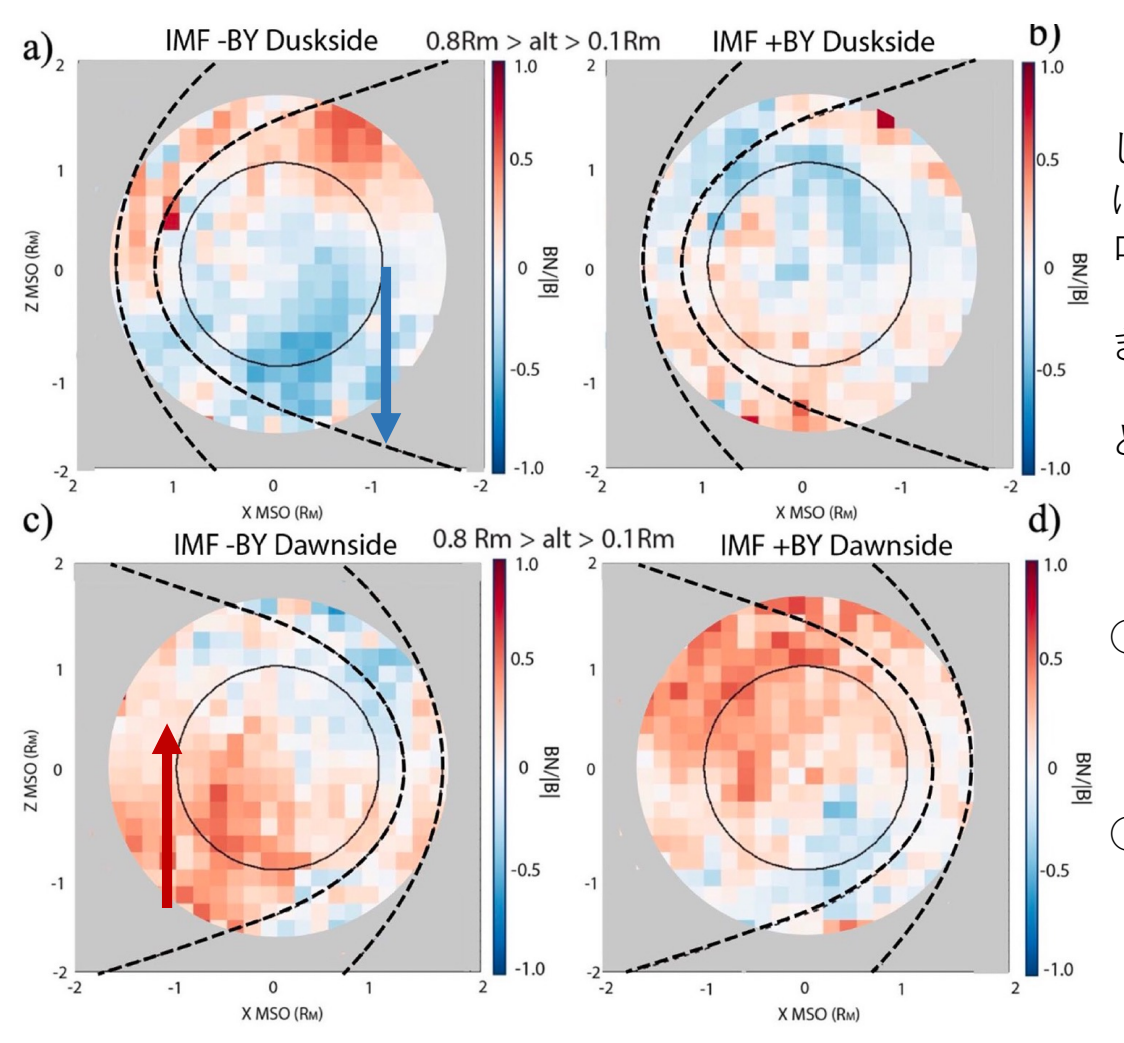
- ・緑色: Dusk側(18:00 < LT < 24:00), 黒色: Dawn側(00:00 < LT < 06:00)
- ・北側のミニ磁気圏におけるイベント34のうち、29(85%)が R_f が Dusk 側
- ・南側のミニ磁気圏におけるイベント15のうち、13(87%)が R_f が \mathbf{Dawn} 側
- ・Drapeした磁場とLTとの関連
- \rightarrow Drape した磁場が北向きのイベントのうち97%で R_f がdawn側にあり、南向きのイベントのうち94%で R_f が dusk側にある。
- $\rightarrow R_f$ 内でのオーロラ発生に適した上流磁気圏の条件も調べる(次スライド)

オーロラ発生場所 VS. 上流IMF clock angle



- ・ライム: $-BY_{MSO}(\theta < 0^{\circ})$, マゼンタ: $+BY_{MSO}(\theta > 0^{\circ})$
- imes θ は θ = arctan(BY_{MSO}/BZ_{MSO})で定義されるIMF clock angle。 \hat{Y} , \hat{Z} はそれぞれMSO座標系における上流IMFのY, Z成分
- ・北側のミニ磁気圏におけるイベント30のうち、22(73%)が $-BY_{MSO}$ 条件下
- ・南側のミニ磁気圏におけるイベント14のうち、14(100%)が- BY_{MSO} 条件下
- ・(b)からも、 $-BY_{MSO}$ (-180° $<\theta<$ 0°)で多くのオーロラが検知されていることがわかる。
- →火星の磁気圏トレンドについてさらに深掘りする(次スライド)。

Nominal draped IMF conditions

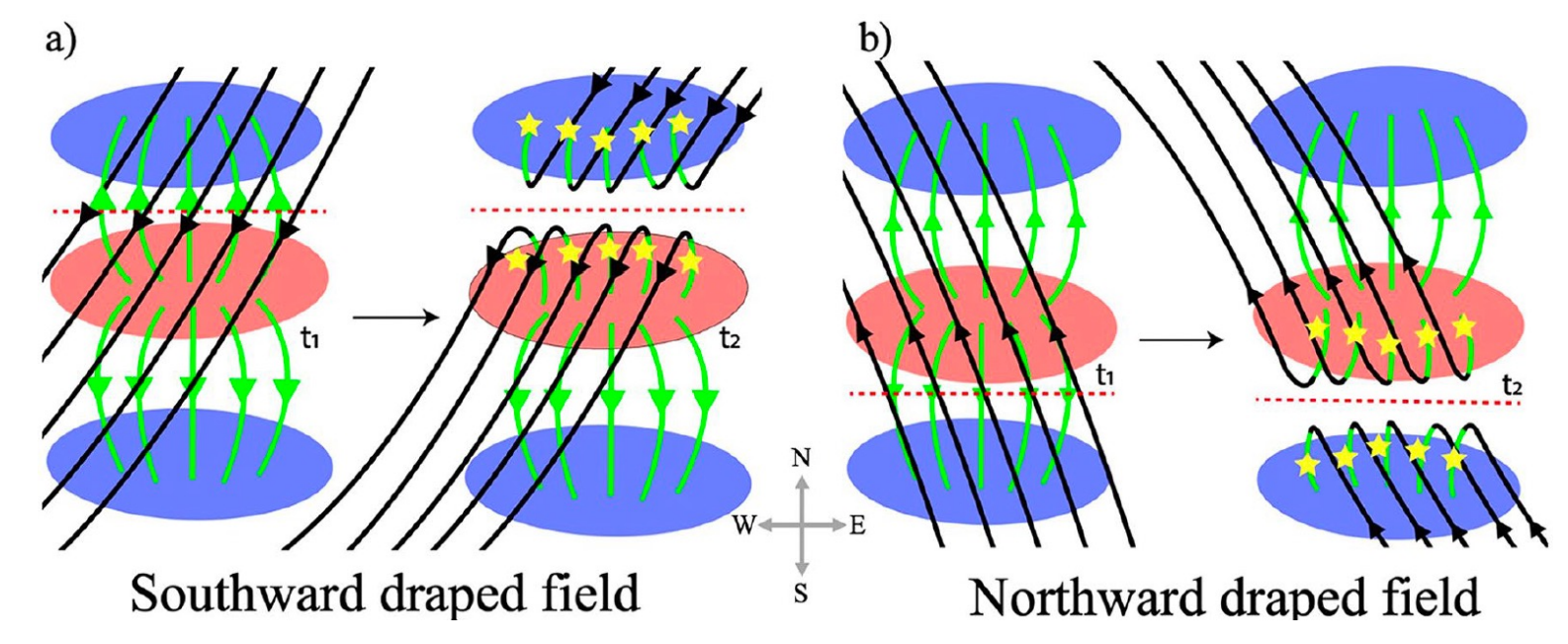


- ・MAVEN/MAGが2014年11月~2020年12月の間に観測したIMFを、の向き($\pm Y_{MSO}$)と観測地点(Dawn/Dusk)によって分類しXZ面内で $0.2R_M \times 0.2$ R_M ビンごとにプロット(オーロラの有無は問わない)。
- $\cdot 0.1$ - $0.8 R_M$ の高度範囲の球殻領域で観測した磁場の向きを平均してXZ面に投影している。
- ・南北方向の磁場に注目したいので、 B_N を磁場のN方向として B_N /B|を各瓶内で平均している。 (Figure 9.に加筆)
- ○Dusk側(上段)
- ·-B_Y→夜側南半球で**南**向き(**青**)
- ・+ B_Y →東西方向、僅かに南向き
- ○Dawn側 (下段)
- ・ ± B_{V} いずれにおいても夜側では**北**向き($\frac{1}{5}$)

結果のまとめ

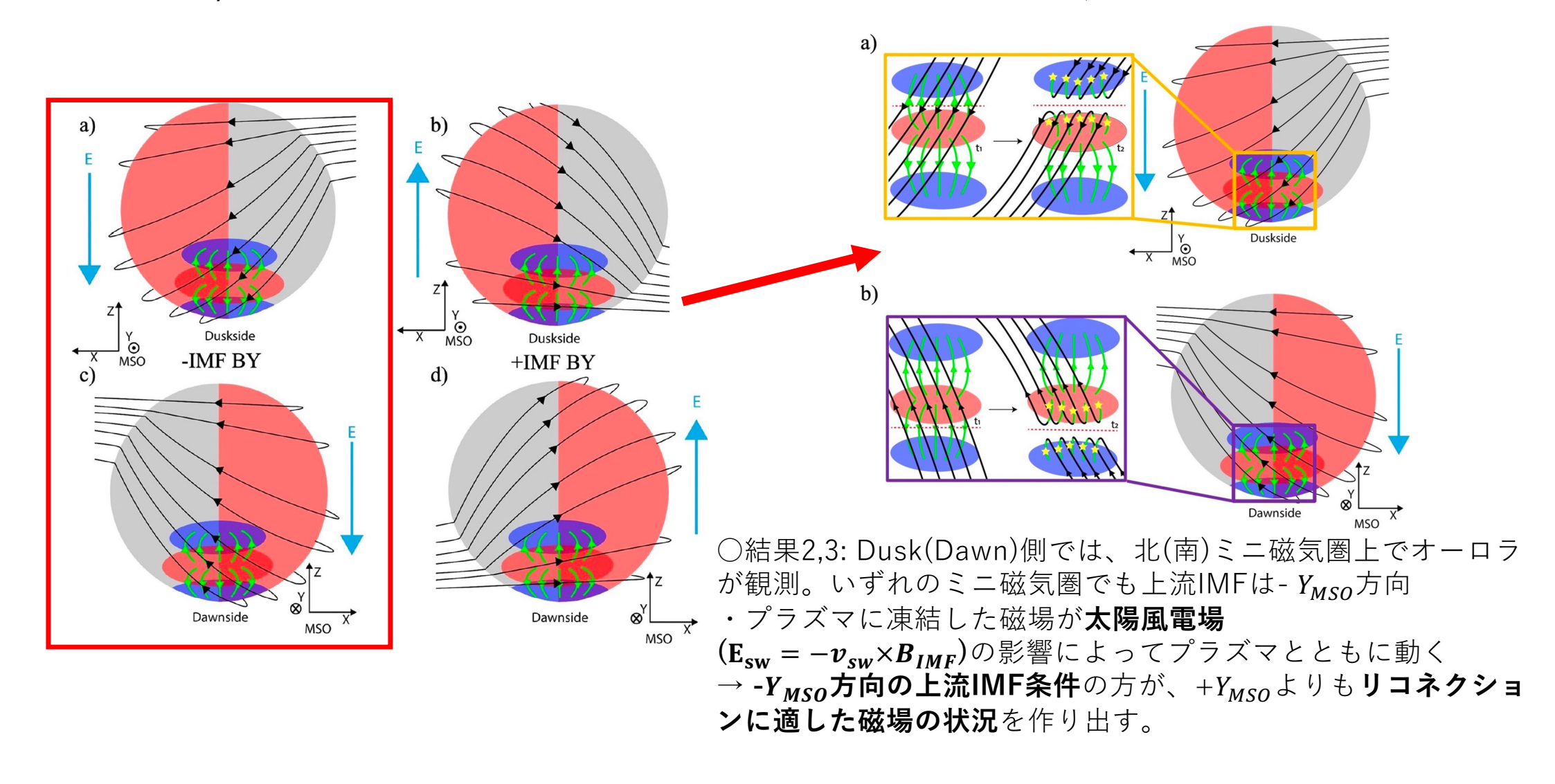
- ○ディスクリートオーロラに関連する次の三つの磁気圏トレンドがわかった。
- 1. 北(南) ミニ磁気圏は南(北)向き磁場条件でディスクリートオーロラが観測されることが多い。
- 2. R_f が $\mathbf{Dusk}(\mathbf{Dawn})$ 側にある時、ディスクリートオーロラは \mathbf{t} (**南**) **ミニ磁気圏**で観測されることが多い。
- 3. **南北ミニ磁気圏**のいずれにおいても、**上流IMF**が- Y_{MSO} 方向の時にディスクリートオーロラが観測されることが多い。
- →1と2,3に分けて考察。

考察1 南北ミニ磁気圏の磁場とdrapeした磁場との反平行方向関係



- ・「地殻磁場とdrapeした磁場との磁気リコネクションが、 R_f 内のミニ磁気圏におけるディスクリートオーロラの形成に重要な役割を果たす。」という**仮説を支持**する結果。
- ・リコネクションの結果、電離圏と高エネルギーの太陽風プラズマとをつなぐ開いた磁力線が生じる。
- ・磁気圏中の電子をオーロラ電子のエネルギーまで加速させるポテンシャル構造も生み出す(Poppe et al., 2021)。
- ・磁気リコネクションとディスクリートオーロラを紐づける初の結果
- ightarrow R_f 内外での磁気圏、地殻磁場の位置に関する特定の条件下におけるディスクリートオーロラの発生場所の理解や、より良いモデルへの貢献。

考察2,3 ディスクリートオーロラ発生場所とLT、上流IMFの関係



まとめ

- ・強地殻磁場領域(R_f)上のMAVEN/IUVSの天底観測で得られた 49のディスクリートオーロライベントを解析し、**リコネクション仮説**(地殻磁場とdrapedなIMFとの磁気リコネクションが ディスクリートオーロラの前兆となる)を検証した。
- ・地殻磁場とIMFが互いに反平行な向きになるという条件下で オーロラ発生が頻繁に見られ、リコネクション仮説を支持する 結果となった。
- 未解明であったディスクリートオーロラ発生場所のLTと上流 IMF条件への依存性も、リコネクション仮説で説明することに 成功した。